

```

if  $P(v + 1) \neq P(i + 1)$  then
     $sp'_i := v$ 
else
     $sp'_i := sp_v$ ;
end;

```

Теорема 3.3.2. Алгоритм $SP'(P)$ корректно вычисляет все значения sp'_i за время $O(n)$.

Доказательство. Доказательство ведется индукцией по i . Так как $sp_1 = 0$ и $sp'_i \leq sp_i$ для всех i , то $sp'_1 = 0$, и алгоритм для $i = 1$ корректен. Теперь предположим, что значение sp'_i , найденное алгоритмом, корректно для всех $i < k$, и рассмотрим $i = k$. Если $P(sp_k + 1) \neq P(k + 1)$, то очевидно, что $sp'_k = sp_k$, так как префикс $P[1..k]$ длины sp_k удовлетворяет всем требованиям. Следовательно, в этом случае алгоритм находит sp'_k правильно.

Если $P(sp_k + 1) = P(k + 1)$, тогда $sp'_k < sp_k$, и, поскольку $P[1..sp_k]$ — суффикс $P[1..k]$, то sp'_k может быть истолковано как длина наибольшего собственного префикса $P[1..sp_k]$, который совпадает с суффиксом $P[1..sp_k]$, при том, что $P(k + 1) \neq P(sp'_k + 1)$. Но так как $P(k + 1) = P(sp_k + 1)$, условие можно переписать как $P(sp_k + 1) \neq P(sp'_k + 1)$. По индукционному предположению упомянутая длина уже вычислена как sp_{sp_k} . Итак, при $P(sp_k + 1) = P(k + 1)$ алгоритм правильно полагает sp'_k равным sp_{sp_k} .

Поскольку для каждой позиции трудоемкость алгоритма константная, полное время его работы имеет порядок $O(n)$. \square

Интересно сравнить этот классический метод вычисления sp и sp' с методом, использующим основной препроцессинг (т. е. Z -значения). В классическом методе сначала вычисляются (слабые) значения sp , а затем из них получаются искомые значения sp' , тогда как в основном препроцессинге порядок прямо противоположен.

3.4. Точный поиск набора образцов

Рассмотрим непосредственное (и важное) обобщение задачи точного поиска на случай множества образцов $\mathcal{P} = \{P_1, P_2, \dots, P_z\}$, когда требуется обнаружить все вхождения в текст T любого образца из \mathcal{P} . Это обобщение называется *множественной задачей точного поиска* (the exact set matching problem). Здесь n будет обозначать суммарную длину всех образцов в \mathcal{P} , а m , как и ранее, длину T . Тогда множественную задачу поиска можно решить за время $O(n + zm)$, применяя любой метод с линейным временем отдельно для каждого из z образцов.

Однако эту задачу можно решить быстрее, чем за $O(n + zm)$, а именно за время $O(n + m + k)$, где k — число вхождений в T образцов из \mathcal{P} . Первый метод с такой границей был предложен Ахо и Корасиком [9] *). В этом параграфе мы представим алгоритм Ахо–Корасика; некоторые из доказательств будут оставлены читателю. Столь же эффективный, но более робастный метод для множественной задачи поиска основывается на суффиксных деревьях, он будет рассмотрен в п. 7.2.

* Имеется более свежее изложение метода Ахо Корасика в [8], где алгоритм используется точно как “приемник”, решающий, обнаружилось или нет вхождение в T по меньшей мере одного образца из \mathcal{P} . Так как нам захочется явно найти все вхождения, эта версия алгоритма слишком ограничена для ее

Определение. Деревом ключей (keyword tree) для множества \mathcal{P} называется ориентированное дерево с корнем \mathcal{K} , удовлетворяющее трем условиям: 1) каждая дуга помечена ровно одним символом; 2) любые две дуги, выходящие из одной и той же вершины, имеют разные пометки; и 3) каждый образец P_i в \mathcal{P} отображается в некоторую вершину v из \mathcal{K} , такую что символы на пути из корня \mathcal{K} в v в точности составляют P_i , и каждый лист из \mathcal{K} соответствует какому-либо образцу из \mathcal{P} .

Например, на рис. 3.13 показано дерево ключей для множества образцов $\{potato, poetry, pottery, science, school\}$.

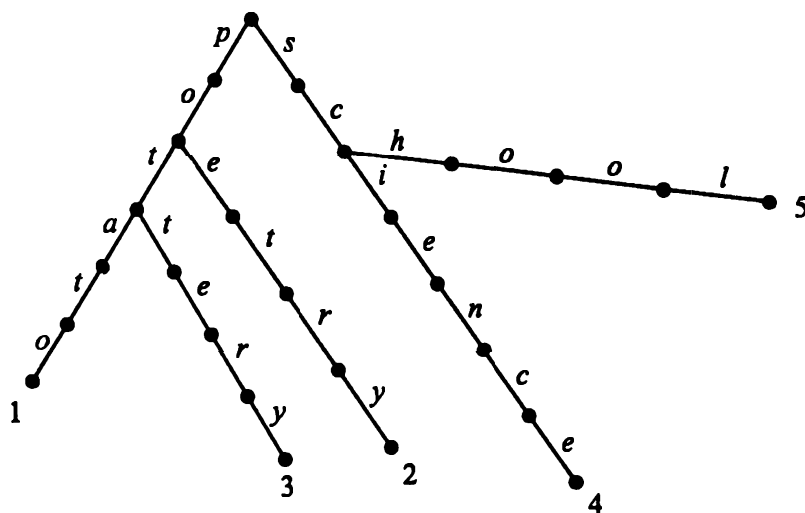


Рис. 3.13. Дерево ключей \mathcal{K} с пятью образцами

Ясно, что каждая вершина в дереве ключей соответствует префиксу какого-либо образца из \mathcal{P} и разные префиксы одного образца отображаются в разные вершины дерева.

В предположении, что размер алфавита конечен, легко построить дерево ключей для \mathcal{P} за время $O(n)$. Определим \mathcal{K}_i как (частичное) дерево ключей, кодирующее образцы P_1, \dots, P_i из набора \mathcal{P} . Дерево \mathcal{K}_1 состоит из простого пути с $|P_1|$ дугами, начинающегося в корне. Каждая дуга этого пути помечена символом из P_1 , и, если читать от корня, эти символы составят строку P_1 . Около конечной вершины этого пути написано число 1. Чтобы сделать \mathcal{K}_2 из \mathcal{K}_1 , найдем самый длинный путь из r , в котором символы совпадают по порядку с P_2 . То есть найдем наибольший префикс P_2 , который совпадает с символами какого-либо пути, идущего из корня. Этот путь кончается либо исчерпанием P_2 , либо тем, что в какой-нибудь вершине дерева v совпадение текста пути и образца заканчивается. В первом случае P_2 уже есть в дереве, и мы пишем номер 2 в вершине, где путь кончается. Во втором случае мы создаем первый путь, ведущий из v , помеченный оставшимися (несовпадающими) символами из P_2 , и пишем число 2 в конце этого пути. Пример этих двух возможностей показан на рис. 3.14.

В любом из этих двух случаев в \mathcal{K}_2 прибавится не больше одной ветвящейся вершины (вершины, у которой детей больше одного), и символы на двух дугах,

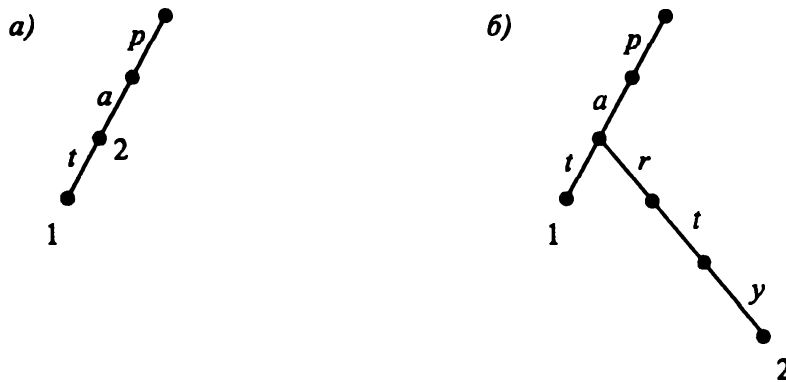


Рис. 3.14. Образец P_1 — это строка pat ;
а — включение образца $P_2 = pa$; б — включение, когда $P_2 = party$

выходящих из этой ветвящейся вершины, будут различны. Мы увидим, что последнее свойство для любого дерева \mathcal{K}_i выполняется индуктивно. В том смысле, что в любой ветвящейся вершине v дерева \mathcal{K}_i все дуги, выходящие из v , имеют разные метки.

В общем, для создания \mathcal{K}_{i+1} из \mathcal{K}_i нужно стартовать из корня \mathcal{K}_i и двигаться так далеко, как возможно, по тому (единственному) пути в \mathcal{K}_i , на котором метки совпадают по порядку с символами из P_{i+1} . Этот путь единственен потому, что в каждой ветвящейся вершине v из \mathcal{K}_i все символы выходящих дуг различны. Если образец P_{i+1} исчерпался (полностью совпал), то вершине, где совпадение закончилось, приписывается номер $i + 1$. Если процесс пришел в вершину v , где дальнейшее совпадение невозможно и для очередного символа P_{i+1} подходящей дуги не нашлось, то создается новый путь из v , помечаемый оставшейся частью P_{i+1} , и конечная вершина этого пути получает номер $i + 1$.

Во время включения в дерево образца P_{i+1} работа для каждой вершины ограничивается константой, так как алфавит конечен и никакие две дуги, выходящие из вершины, не помечены одним и тем же символом. Следовательно, для любого i включение образца P_{i+1} в \mathcal{K}_i занимает время $O(|P_{i+1}|)$, а создание всего дерева ключей — время $O(n)$.

3.4.1. Наивное использование дерева ключей для множественного поиска

Поскольку никакие две дуги, выходящие из одной вершины, не помечены одинаковым символом, дерево ключей можно использовать для поиска всех вхождений в T образцов из \mathcal{P} . Для начала посмотрим, как искать вхождения образцов из \mathcal{P} , которые начинаются с первого символа строки T . Нужно следовать единственному пути в \mathcal{K} , который совпадает с префиксом T , так долго, как возможно. Если на пути найдется вершина, имеющая номер i , это значит, что строка P_i входит в T , начиная с позиции 1. Больше одной нумерованной вершины можно встретить при условии, что некоторые образцы из \mathcal{P} являются префиксами других образцов из \mathcal{P} .

В общем случае, чтобы найти все образцы, которые входят в T , мы стартуем с каждой позиции l строки T и идем единственным путем из корня r дерева \mathcal{K} , который совпадает с подстрокой T , начинающейся с символа позиции l . Нумерованные вершины вдоль пути отмечают образцы из P , которые входят в T , начиная

с позиции l . Для фиксированного l прокладка пути в \mathcal{X} требует времени, пропорционального минимуму из m и n , так что последовательно наращивая l от 1 до m и проходя через \mathcal{X} для каждого l , можно решить точную множественную задачу поиска за время $O(nm)$. Ниже мы уменьшим это время до $O(n + m + k)$, где k — число вхождений.

Задача о словаре

Этот простой алгоритм построения дерева ключей без каких-либо дальнейших улучшений эффективно решает специальный случай задачи множественного поиска, называемый *задачей о словаре*. В ней изначально известно и подготовлено множество строк (образующих словарь). Потом появляется последовательность отдельных строк; для каждой из них требуется определить, содержится ли она в словаре. В этом контексте вполне очевидно удобство дерева ключей. Строки словаря закодированы в дереве ключей \mathcal{X} , и, когда появляется отдельная строка, проход от корня в дереве \mathcal{X} определяет, есть ли указанная строка в словаре. В этом специальном случае точного множественного поиска необходимо дать ответ, совпадает ли весь текст T (отдельная строка) с какой-нибудь строкой в \mathcal{P} .

Вернемся теперь к общей проблеме множественного поиска, где устанавливается, какие строки из \mathcal{P} содержатся в тексте T .

3.4.2. Ускорение: обобщенный метод Кнута–Морриса–Пратта

Изложенный наивный подход к точной задаче множественного поиска аналогичен наивному поиску, который мы обсуждали до того, как ввели метод Кнута–Морриса–Пратта. Последовательное наращивание l на единицу и старт каждый раз от корня r аналогичен наивному точному поиску для отдельного образца, где после каждого несовпадения образец сдвигается только на одну позицию, и сравнения всегда начинаются с левого конца образца. Алгоритм Кнута–Морриса–Пратта улучшает этот наивный алгоритм сдвигом образца больше чем на одну позицию, когда это возможно, и отказом от сравнения символов слева от текущего символа в T . Алгоритм Ахо–Корасика использует улучшения того же типа, наращивая l больше чем на единицу и перепрыгивая через начальные части путей в \mathcal{X} , когда это возможно. Ключевая идея — такое обобщение функции sp_i (определенной на с. 47 для отдельного образца), которое позволяет оперировать с набором образцов. Имеется в виду непосредственное обобщение с одной только тонкостью, которая возникает, если какой-то образец в \mathcal{P} является собственной подстрокой другого образца в \mathcal{P} . Поэтому полезно (временно) сделать следующее предположение:

Предположение о подстроках. Никакой образец в \mathcal{P} не является собственной подстрокой любого другого образца в \mathcal{P} .

3.4.3. Функции неудач для дерева ключей

Определение. Каждая вершина v в \mathcal{X} помечена строкой, полученной конкатенацией символов на пути от корня \mathcal{X} до вершины v в порядке их появления. Для этой пометки используется обозначение $\mathcal{L}(v)$. Так что конкатенация символов пути от корня до v произносит строку $\mathcal{L}(v)$.

Например, на рис. 3.15 вершина, на которую указывает стрелка, помечена строчкой *pott*.

Определение. Для любой вершины v дерева \mathcal{X} определим $lp(v)$ как длину наибольшего собственного суффикса строки $\mathcal{L}(v)$, которая является префиксом некоторого образца из \mathcal{P} .

Например, рассмотрим набор образцов $\mathcal{P} = \{\text{potato, tattoo, theater, other}\}$ и его дерево ключей, показанное на рис. 3.16. Пусть v — вершина, помеченная

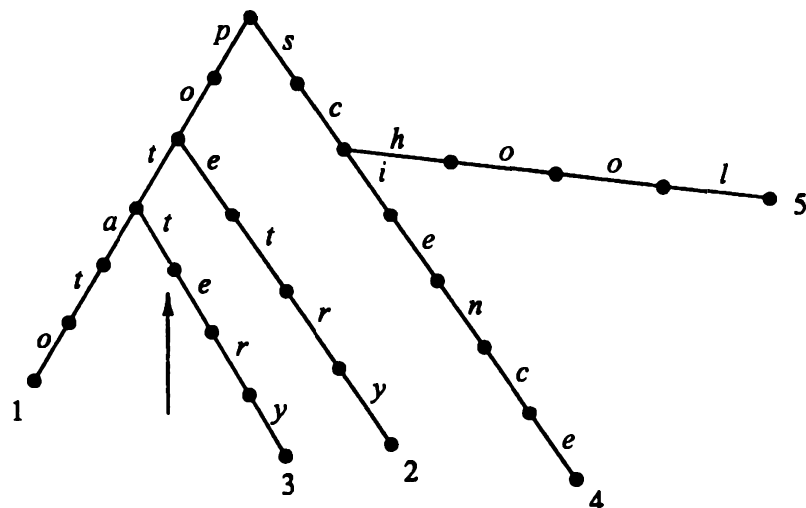


Рис. 3.15. Дерево ключей, показывающее пометку узлов

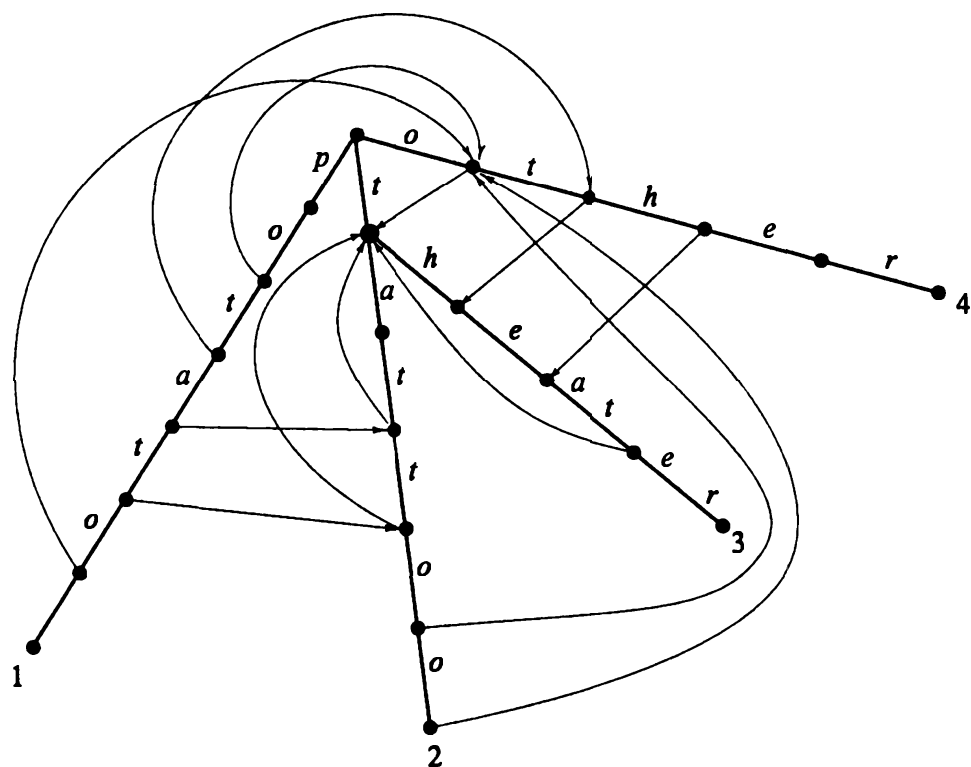


Рис. 3.16. Дерево ключей, показывающее связи неудач

строкой *potat*. Так как *tat* — это префикс *tattoo* и наибольший собственный суффикс *potat*, который является префиксом какого-либо образца в \mathcal{P} , то $lp(v) = 3$.

Лемма 3.4.1. *Пусть a — суффикс строки $\mathcal{L}(v)$ длины $lp(v)$. Тогда существует единственная вершина в дереве ключей, помеченная строкой a .*

Доказательство. \mathcal{K} кодирует все образцы из \mathcal{P} , и по определению суффикс из $\mathcal{L}(v)$ длины $lp(v)$ есть префикс некоторого образца в \mathcal{P} . Так что должен быть путь из корня дерева \mathcal{K} , который произносит строку a . По построению \mathcal{K} никакие два пути не произносят одну и ту же строку, так что путь единственен, и лемма доказана. \square

Определение. Для вершины v дерева \mathcal{K} пусть n_v — единственная вершина в \mathcal{K} , помеченная суффиксом $\mathcal{L}(v)$ длины $lp(v)$. Если $lp(v) = 0$, то n_v — корень \mathcal{K} .

Определение. Назовем упорядоченную пару (v, n_v) *связью неудачи*.

На рис. 3.16 представлено дерево ключей для $\mathcal{P} = \{potato, tatoos, theater, other\}$. Связи неудач изображены как указатели от каждой вершины v к вершине n_v , где $lp(v) > 0$. Другие связи неудач указывают на корень и в рисунок не включены.

3.4.4. Связи неудач ускоряют поиск

Предположим, что мы знаем связь неудачи $v \mapsto n_v$ для каждой вершины v из \mathcal{K} . (Позднее мы покажем, как эффективно найти эти связи.) Каким образом связи неудач помогают ускорить поиск? Функция $v \mapsto n_v$ используется в алгоритме Ахо–Корасика (AC) аналогично функции $i \mapsto sp_i$ в алгоритме Кнута–Морриса–Пратта. Здесь l , как и раньше, будет отмечать стартовую позицию в T разыскиваемых образцов, а указатель c в T — “текущий символ”, который нужно сравнивать с символом из \mathcal{K} . Следующий алгоритм использует связи неудач для поиска вхождения в T образца из \mathcal{P} :

Алгоритм поиска AC

```

 $l := 1;$ 
 $c := 1;$ 
 $w :=$  корень  $\mathcal{K}$ 
repeat
    while есть дуга  $(w, w')$ , помеченная символом  $T(c)$  begin
        if  $w'$  занумерована образцом  $i$  then
            сообщить, что  $P_i$  встретилось в  $T$ , начиная с позиции  $l$ ;
             $w := w'$ ;  $c := c + 1$ ;
        end;
         $w := n_w$ ;  $l := c - lp(w)$ ;
    until  $c > m$ ;
```

Чтобы понять назначение функции $v \mapsto n_v$, предположим, что мы прошли по дереву до вершины v и остановились (т.е. символ $T(c)$ не приписан никакой дуге, выходящей из v). Мы знаем, что строка $\mathcal{L}(v)$ встречается в T , начиная с позиции l и кончая позицией $c - 1$. По определению функции $v \mapsto n_v$ нам гарантировано, что строка $\mathcal{L}(n_v)$ совпадает со строкой $T[c - lp(v)..c - 1]$. Поэтому-то алгоритм и мог

проходить \mathcal{K} от корня до вершины n_v , и есть уверенность в совпадении всех символов на этом пути с символами T , начиная с позиции $c - lp(v)$. Итак, когда $lp(v) \geq 0$, позицию l можно увеличить до $c - lp(v)$, c можно оставить неизмененным и не нужно фактически делать сравнения на пути от корня до вершины n_v . На самом деле сравнения следует начать в вершине n_v , сопоставляя символ c из T с символами дуг, выходящих из n_v .

Например, рассмотрим текст $t = xxpotattooxx$ и дерево ключей, изображенное на рис. 3.16. Когда $l = 3$, текст совпадает со строкой $potat$, а в следующем символе — уже несовпадение. В этой точке $c = 8$, связь неудачи от вершины v , помеченной строкой $potat$, указывает на вершину n_v , помеченную tat , и $lp(v) = 3$. Таким образом, l возрастает до $5 = 8 - 3$, и следующее сравнение будет между символом $T(8)$ и символом t на дуге ниже tat .

В этом алгоритме, когда дальнейшие совпадения уже невозможны, l может возрасти больше чем на единицу, избавляя тем самым от повторной проверки символы из T слева от c , и при этом мы сохраняем уверенность, что каждое вхождение образца из \mathcal{P} , которое *начинается* с символа $c - lp(v)$ строки T , будет правильно распознано. Конечно (точно как у Кнута–Морриса–Пратта), мы должны обосновать, что никакое вхождение образца из \mathcal{P} не начинается между старым l и $c - lp(v)$ в T , и поэтому l можно увеличить до $c - lp(v)$ без пропуска вхождений. При сделанном предположении, что ни один образец из \mathcal{P} не является собственной подстрокой другого, аргументация почти идентична доказательству теоремы 2.3.2 в анализе метода Кнута–Морриса–Пратта и оставляется как упражнение.

При $lp(v) = 0$ нужно увеличить l до c и начать сравнение с корня \mathcal{K} . Остается только случай, когда несовпадение обнаружилось прямо в корне. Тогда c нужно увеличить на 1 и опять начать сравнение с корнем.

Поэтому использование функции $v \mapsto n_v$ заведомо ускоряет наивный поиск образца из \mathcal{P} . Но улучшает ли оно время счета для наихудшего случая? Аргументами того же типа, как при анализе времени поиска (а не препроцессинга) в методе Кнута–Морриса–Пратта (теорема 2.3.3), легко установить, что время поиска для метода Ахо–Корасика имеет порядок $O(m)$. Мы оставляем это как упражнение. Однако мы должны еще показать, как вычислить за линейное время функцию $v \mapsto n_v$.

3.4.5. Линейный препроцессинг для функции неудач

Напомним, что для любой вершины v из \mathcal{K} вершина n_v — единственная из \mathcal{K} , помеченная суффиксом $\mathcal{L}(v)$ длины $lp(v)$. Следующий алгоритм находит n_v для каждой вершины v из \mathcal{K} с полным временем $O(n)$. Ясно, что если v — корень r или отстоит от корня на один символ, то $n_v = r$. Предположим для некоторого k , что n_v вычислена для всех вершин, отстоящих от корня на не более k символов (дуг). Задача в том, чтобы вычислить n_v для вершины v , отстоящей от корня на $k + 1$ символов. Пусть v' — отец v в \mathcal{K} , а x — символ на дуге от v' к v , как показано на рис. 3.17.

Мы ищем вершину n_v и (неизвестную) строку $\mathcal{L}(n_v)$, помечающую путь от корня до этой вершины; мы знаем вершину $n_{v'}$, так как v' отстоит от r на k . Точно так же, как в изложении классической препроцессной обработки для метода Кнута–Морриса–Пратта, мы убеждаемся, что строка $\mathcal{L}(n_v)$ должна быть суффиксом $\mathcal{L}(n_{v'})$ (не обязательно собственным), за которым следует символ x . Таким образом, первое, что нужно проверить, — существует ли дуга $(n_{v'}, w')$, выходящая из вершины $n_{v'}$

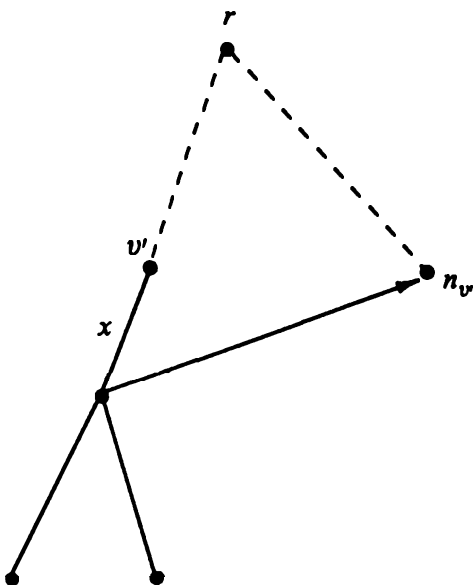


Рис. 3.17. Дерево ключей, используемое для вычисления функции неудач для узла v

и помеченная символом x . Если такая дуга существует, то $n_v = w'$, и все сделано. В противном случае $\mathcal{L}(n_v)$ есть *собственный* суффикс $\mathcal{L}(n_{v'})$, за которым следует x . Тогда проверим следующей вершиной $n_{v'}$, чтобы проверить, не найдется ли выходящая из нее дуга, помеченная x . (Вершина $n_{v'}$ известна, так как $n_{v'}$ отстоит от корня не больше чем на k дуг.) Продолжая тем же способом с точно тем же обоснованием, как в классическом препроцессинге для метода Кнута–Морриса–Пратта, мы приходим к следующему алгоритму вычисления n_v для вершины v :

Алгоритм n_v

```

 $v'$  — отец  $v$  в  $\mathcal{K}$ ;
 $x$  — символ на дуге  $(v', v)$ ;
 $w := n_{v'}$ ;
while нет дуги, выходящей из  $w$ , помеченной  $x$ , и  $w \neq r$ 
    do  $w := n_w$ ;
    if есть дуга  $(w, w')$ , выходящая из  $w$  и помеченная  $x$ , then
         $n_v := w'$ ;
    else
         $n_v := r$ ;
```

Отметим важность предположения, что значение n_u уже известно для каждой вершины u , отстоящей не более чем на k символов от r .

Чтобы найти n_v для каждой вершины v , повторно применим предложенный выше алгоритм ко всем вершинам из \mathcal{K} . Будем обходить дерево в ширину, начиная от корня.

Теорема 3.4.1. Пусть n — полная длина всех образцов из \mathcal{P} . Полное время, затрачиваемое алгоритмом n_v в применении его ко всем вершинам из \mathcal{K} , равно $O(n)$.

Доказательство. Аргументация этого доказательства прямо обобщает аргументацию из анализа времени при классическом препроцессинге в методе Кнута–

Морриса–Пратта. Рассмотрим единичный образец P из \mathcal{P} , имеющий длину t , и путь в \mathcal{K} для образца P . Будем анализировать время, затраченное алгоритмом для нахождения связей неудач для вершин этого пути так, как будто через проходимые им вершины не пролегают пути для других образцов из \mathcal{P} . Такой анализ начислит больше работы, чем ее выполняется на самом деле, но оценка все равно будет линейной.

Главное — проанализировать, как меняется $lp(v)$ при выполнении алгоритма для каждой очередной вершины v вниз по пути для P . Когда v отстоит от корня на одну дугу, $lp(v)$ равно 0. Пусть теперь v — произвольная вершина пути и v' — ее отец. Очевидно, $lp(v) \leq lp(v') + 1$, так что во всех исполнениях алгоритма n_v для вершины пути для P , $lp()$ увеличится не более чем на t . Посмотрим далее, насколько $lp()$ может уменьшиться. При вычислении n_v для любой вершины v , w стартует с $n_{v'}$, и таким образом начальная глубина вершины равна $lp(v')$. Однако затем глубина вершины w уменьшается при каждом новом присваивании w (внутри цикла *while*). Когда n_v будет найдено, $lp(v)$ становится равным текущей глубине w , так что если w присваивается k раз, то $lp(v) \leq lp(v') - k$, и $lp()$ уменьшилось по меньшей мере на k . Значит, $lp()$ не может быть отрицательным и вырастает во время вычислений по пути P не больше, чем на t . Отсюда следует, что во время всех вычислений для вершин на пути для P , число присваиваний внутри цикла *while* будет не больше t . Полное затраченное время пропорционально числу присваиваний внутри цикла, и следовательно, все связи неудач по пути для P находятся за время $O(t)$.

Применение этого рассуждения к каждому образцу из \mathcal{P} приводит к выводу, что все связи неудач получаются за время, пропорциональное сумме длин образцов в \mathcal{P} (т. е. за время $O(n)$). \square

3.4.6. Полный алгоритм Ахо–Корасика: освобождение от предположения о подстроках

До сих пор мы предполагали, что никакой образец из \mathcal{P} не является подстрокой другого. Снимем теперь это условие. Если один образец входит в другой и алгоритм АС (с. 83) использует то же дерево ключей, что и раньше, то l может достигнуть слишком больших значений. Рассмотрим случай, когда $\mathcal{P} = \{acatt, ca\}$ и $T = acatg$. В том виде, как он есть, алгоритм находит совпадение T по пути в \mathcal{K} , пока текущим не станет символ g . Путь заканчивается в вершине v с $\mathcal{L}(v) = acat$. Ни одна дуга, выходящая из v , не помечена g , и так как никакой собственный суффикс $acat$ не является префиксом $acatt$ или ca , то n_v есть корень \mathcal{K} . Таким образом, если вершина v останавливает алгоритм, то он возвращается к корню с g в качестве текущего символа, и l получает значение 5. Затем после одного дополнительного сравнения указатель текущего символа дойдет до $m + 1$, и алгоритм завершает работу, не найдя вхождения ca в T . Это случилось потому, что алгоритм сдвигает (увеличивает l) так, чтобы найти совпадение самого длинного суффикса $\mathcal{L}(v)$ с префиксом какого-либо образца в \mathcal{P} . Вложенные вхождения образцов в $\mathcal{L}(v)$, которые не являются суффиксами $\mathcal{L}(v)$, не влияют на увеличение l .

С такой трудностью легко справиться благодаря следующим наблюдениям, доказательства которых мы оставляем читателю.

Лемма 3.4.2. *Пусть в дереве ключей \mathcal{K} существует путь из связей неудач (возможно, пустой) от вершины v к вершине, занумерованной образцом i . Тогда в T*

должен обнаружиться образец P_i , который оканчивается в позиции c (текущий символ), как только во время фазы поиска алгоритма Ахо-Корасика будет достигнута вершина v .

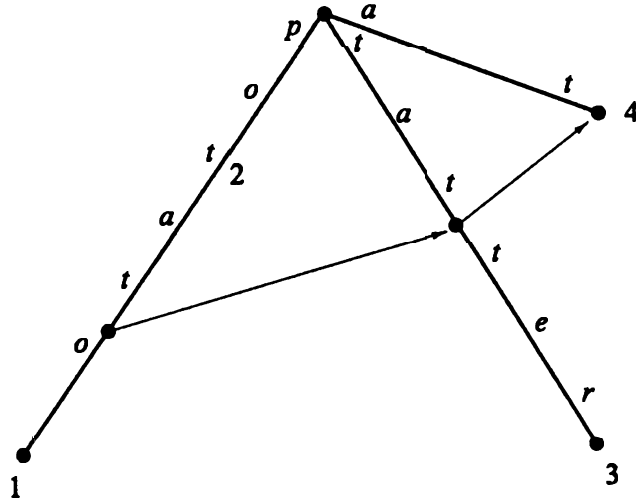


Рис. 3.18. Дерево ключей с путем от *potat* до *at* через *tat*

Например, на рис. 3.18 изображено дерево ключей для $\mathcal{P} = \{\text{potato}, \text{pot}, \text{tatter}, \text{at}\}$ с некоторыми из связей неудач. Эти связи образуют путь от вершины v с пометкой *potat* к нумерованной вершине с пометкой *at*. Если проход по \mathcal{K} достигает v , то T наверняка содержит образцы *tat* и *at*, заканчивающиеся в текущем символе c .

И напротив:

Лемма 3.4.3. Пусть в ходе работы алгоритма достигнута вершина v . Тогда образец P_i появляется в T , заканчиваясь в позиции c , только если v имеет номер i или существует путь из связей неудач из v в вершину с номером i .

Итак, полный алгоритм поиска таков.

Алгоритм полного АС-поиска

$l := 1;$

$c := 1;$

$w :=$ корень;

repeat

while существует дуга (w, w') с пометкой $T(c)$ begin

if w' занумерована образцом i или существует путь из связей неудач

из w' в вершину с номером i

then сообщить о вхождении P_i в T , начиная с позиции c ;

$w := w'; c := c + 1;$

end;

$w := n_w; l := c - lp(w);$

until $c > n$;

Реализация

Леммы 3.4.2 и 3.4.3 указывают на высоком уровне, как найти все вхождения образцов в текст, однако нужно уточнить детали реализации. Наша цель — научиться строить

дерево ключей, определять функцию $v \mapsto n_v$ и иметь возможность выполнять алгоритм полного АС поиска за время $O(m + k)$. Нам понадобится дополнительный указатель в каждой вершине \mathcal{X} , который мы назовем *связью выхода* (output link).

Связь выхода (если она существует) в вершине v указывает на нумерованную вершину (вершину, соответствующую концу образца из \mathcal{P}), отличную от v и достижимую из v за наименьшее число связей неудачи. Связи выхода можно получить за время $O(n)$ при выполнении препроцессинга для n_v . Когда определено значение n_v , возможная связь выхода из вершины v определяется следующим образом. Если n_v — нумерованная вершина, то связь выхода из v указывает на n_v ; если n_v не занумерована, но имеет связь выхода на вершину w , то связь выхода из v указывает на w ; в противном случае v не имеет связи выхода. Здесь видно, что связь выхода может указывать только на нумерованную вершину и путь из связей выхода от любой вершины v проходит через все нумерованные вершины, достижимые из v путем, составленным из связей неудач. Например, на рис. 3.18 вершины для *tat* и *rotat* получат свои связи выхода на вершину для *at*. Работа по добавлению связей выхода требует лишь константного времени на вершину, так что полное время для алгоритма n_v остается $O(n)$.

Располагая связями выхода, мы можем определить все вхождения в T образцов из \mathcal{P} за время $O(m + k)$. Как раньше, поскольку нумерованная вершина встречается во время полного АС-поиска, вхождение распознается и регистрируется. Вдобавок, если встречается вершина v , у которой есть связь выхода, алгоритм должен пройти путь связей выхода из v , регистрируя вхождение, кончающееся в позиции c из T для каждой связи этого пути. Когда прохождение по этому пути достигнет вершины без связи выхода, мы возвращаемся вдоль пути к вершине v и продолжаем выполнять алгоритм полного АС-поиска. Так как во время этого прохода не происходит сравнений символов, в обеих фазах, создания и поиска, число сравнений по-прежнему имеет границу $O(n + m)$. Далее, хотя число проходов по связям выхода может превысить линейную границу, каждый проход связи выхода обнаруживает вхождение образца, так что полное время алгоритма имеет оценку $O(n + m + k)$, где k — полное число вхождений. В результате мы имеем:

Теорема 3.4.2. *Если \mathcal{P} — набор образцов с полной длиной n и полная длина текста T равна m , то все вхождения в T образцов из \mathcal{P} можно найти за время $O(n)$ на препроцессинг плюс $O(m + k)$ на поиск k вхождений. Это верно даже без предположения о подстроках.*

В дальнейшем (п. 6.5) мы обсудим другие аспекты реализации, которые влияют на практическое осуществление как метода Ахо–Корасика, так и метода суффиксного дерева.

3.5. Три приложения точного множественного поиска

3.5.1. Сравнение с ДНК или библиотекой идентифицированных белков

В молекулярной биологии есть ряд прикладных направлений, при развитии которых созданы относительно устойчивые библиотеки интересных или распознанных подстрок ДНК или белков. Наша первая важная иллюстрация будет связана